

著者 九大工学部 小坪清眞

## 1. 概論

全く不規則な地震動による動水圧の理論式を誇導し、2, 3の地震記録に対して数値計算を行つた結果、従来の定常振動論における誤を指摘し、次の諸点を明確にすることができた。  
(1) 地震周期が動水圧の共振周期より短かい場合には、地動の位相より $90^\circ$ あくれた位相の動水圧が支配的である。  
(2) 実際に起る有限時間続く不規則な地震による動水圧の最大値は、Westergaardの式による値の2倍以下である。  
(3) 地震周期が動水圧の共振周期より短かい場合には、ダムの弾性変形によつて生ずる附加的動水圧は、ダムの弾性変形の位相より $90^\circ$ あくれて生じ、減衰力としてダムに作用する。  
(4) 重力ダムの満水時固有振動周期は動水圧の共振周期より短かい。従つて、ダムが共振するような地震周期に対しては、動水圧の減衰作用が働き、重力ダムの振動応力は従来考えられていたものより遙かに小さい。

## 2. 不規則な地震動による動水圧

地震加速度を $\alpha g(t)$ とすれば、動水圧 $\sigma$ は次式によつて求められる。

$$\sigma = \sum_{m=0}^{\infty} \frac{4\alpha w_0 v (-1)^m \cos \lambda_m (h-z)}{(2m+1)\pi} \int_0^{t-x/v} J_0 \left\{ \lambda_m v \sqrt{(t-\tau)^2 - (x/v)^2} \right\} d\tau \quad \text{--- (1)}$$

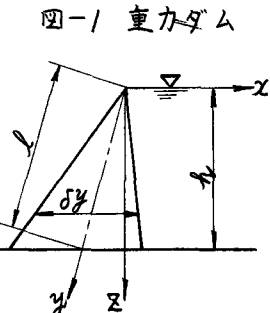
こゝに、 $w_0$ は水の単位重量、 $v$ は水中音速、 $h$ は堤高、 $z$ は天端よりの深さ、 $\lambda_m = (2m+1)\pi / 2v$ である。

特別な場合として、地動が $(\alpha g/w^2) \cos \omega t$ で始まる場合の動水圧を、定常状態と過渡状態に分離すると次式が得られ、地震周期が動水圧の共振周期より短かい場合には、地動の位相より $90^\circ$ あくれた位相の動水圧が支配的となる。

$$\begin{aligned} \sigma = & - \sum_{m=0}^{S-1} \frac{4\alpha w_0 (-1)^m \cos \lambda_m (h-z)}{(2m+1)\pi / (w/v)^2 - \lambda_m^2} \sin(wt - \sqrt{(w/v)^2 - \lambda_m^2} \chi) \\ & - \sum_{m=0}^{\infty} \frac{4\alpha w_0 (-1)^m \cos \lambda_m (h-z)}{(2m+1)\pi / \lambda_m^2 - (w/v)^2} e^{-x/\lambda_m^2 - (w/v)^2} \cos \omega t \\ & + \sum_{m=0}^{\infty} \frac{4\alpha w_0 v (-1)^m \cos \lambda_m (h-z)}{(2m+1)\pi} \int_t^{\infty} \cos w(t-\tau) J_0 \left\{ \lambda_m v \sqrt{\tau^2 - (x/v)^2} \right\} d\tau \quad \text{--- (2)} \end{aligned}$$

こゝに、 $S$ は、 $\lambda_m^2 > (w/v)^2$ を満たす $m$ の最小値である。

図-2は塚原ダムサイト地震記録(電研究所報)に対して、(1)式によつて動水圧を求め、Westergaardの式による計算値に対する倍率を示したものである。また、図-3は、地震動が $(\alpha g/w^2) \cos \omega t$ で始まる場合に、動水圧生成のために、ダム上流面単位巾が水にあたえるエネルギーを、ダムが剛振動をなすとして求めたものである。



### 3. 重力ダムの振動応力

重力ダムの空虚時にあける振動型を  $U_j(s)$ , ( $j=1, 2, \dots$ ), ( $s = z/h = y/l$ ) とし, 地動が定常的に  $(\alpha g/w^2) \cos \omega t$  でダムに作用する時のダムの弾性変位を  $\sum_{j=1}^{\infty} a_j U_j e^{i \omega t}$  とあけば, 係数  $a_j$  は次式によつて求められる。

$$\begin{aligned} & a_j \left\{ C d_j (w_j^2 - w^2 + 2 i \mu w) + B e_j (w_j^2 - w^2) \right\} \\ & + \sum_{r=1}^{\infty} a_r \left\{ \sum_{m=0}^{s-1} \frac{i D w^2 f_{jm} f_{rm}}{\sqrt{w^2 - \lambda_m^2 v^2}} - \sum_{m=s}^{\infty} \frac{D w^2 f_{jm} f_{rm}}{\sqrt{\lambda_m^2 v^2 - w^2}} \right\} \\ & = F G_j - \sum_{m=0}^{s-1} \frac{i (-1)^m f_{jm}}{(2m+1)\pi \sqrt{w^2 - \lambda_m^2 v^2}} \\ & + \sum_{m=s}^{\infty} \frac{G (-1)^m f_{jm}}{(2m+1)\pi \sqrt{\lambda_m^2 v^2 - w^2}} \quad \cdots \cdots (3) \end{aligned}$$

$$\begin{aligned} & C = w h^2 / E g, \quad C = 12 w h^2 / E g \delta^2, \\ & D = 24 w v r h^2 / E g \delta^2 l, \quad F = 12 d w v h^2 / E \delta^2, \\ & G = 48 d w v r h^2 / E g \delta^2 l, \end{aligned}$$

$$C_j = \int_0^s s U_j ds, \quad d_j = \int_0^s s U_j^2 ds, \quad e_j = \int_0^s s \left( \frac{dU_j}{ds} \right)^2 ds$$

$$f_{jm} = \int_0^s U_j \cos \lambda_m h (1-s) ds, \quad \text{である。}$$

図-4 は、いろいろの地震周期の場合に堤底に生ずる振動モーメントを(3)式によつて求め、静モーメントに対する倍率で示したものである。

図-4 から明らかなように、振動モーメントは共振時においてもはなはだ小さい。動水圧が共振するような地震周期に対しても、振動モーメントは外力たる動水圧の倍率に支配される。

図-4 では定常振動を仮定したので動水圧の倍率は∞となつたのであるが、この場合には、図-2 に示すような実際の地震記録による動水圧の最大値から検討して、ダムの振動モーメントは、ダムの第1次共振点における振動モーメントより大きくなることはないようである。

図-2 動水圧倍率  
(塚原ダムサイト地震記録)

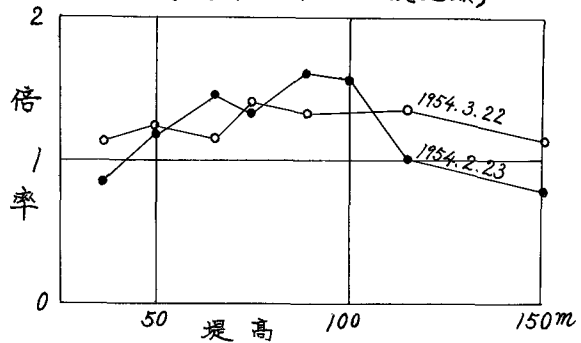


図-3 地動が  $\cos \omega t$  で始まる場合のエネルギー消費量 ( $h = 100m$ )

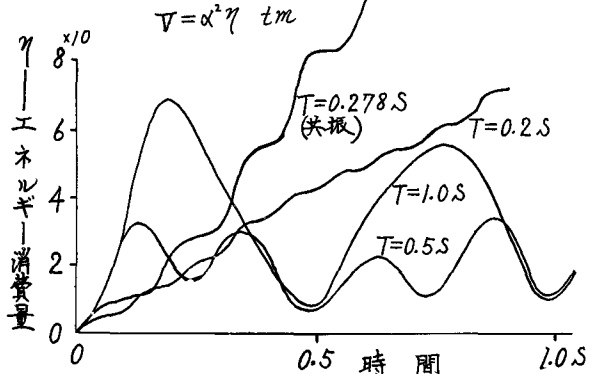


図-4 重力ダムの堤底振動応力  
( $h = 100m, E = 2.1 \times 10^6 t/m^2$ )

